

УДК 539.3

## ЭВОЛЮЦИОННАЯ МОДЕЛЬ ТЕРМОУПРУГОСТИ ПРИ КОНЕЧНЫХ ДЕФОРМАЦИЯХ

А. А. Роговой, О. С. Столбова

Институт механики сплошных сред УрО РАН, 614013 Пермь  
E-mails: rogovoy@icmm.ru, sos@kig.pstu.ac.ru

С использованием формализованного подхода к построению определяющих соотношений сложных сред при конечных деформациях в предположении близости промежуточной и текущей конфигураций получено уравнение состояния термоупругости. Сформулирована вариационная постановка связанной термоупругой задачи. Определяющее уравнение, уравнение теплопроводности, соотношения для внутренней, свободной энергии и энтропии, а также вариационная постановка связанной задачи термоупругости при конечных деформациях протестированы на задаче одноосного растяжения стержня. Модель удовлетворительно описывает такие известные для эластомеров экспериментальные факты, как энтропийная упругость, температурная инверсия и изменение температуры в адиабатическом процессе.

**Ключевые слова:** термоупругость, конечные деформации, слабая сжимаемость, определяющие уравнения, уравнение теплопроводности, тестирование модели.

**Введение.** В работах [1–5] в рамках кинематики, определяемой наложением упруго-неупругих градиентов места (переводящих промежуточную конфигурацию в близкую текущую) на конечные упруго-неупругие (переводящие начальную конфигурацию в промежуточную), построено разложение полного градиента места на упругий, неупругий и температурный, совпадающее по форме с известным разложением Ли, но свободное от недостатков последнего. На основе законов термодинамики и принципа объективности показано, что неупругий и температурный градиенты места должны быть чистыми деформациями без вращений. С учетом этого требования получена недостающая связь между малыми неупругими деформациями  $e_{IN}$ , для которых известно определяющее соотношение, и малыми неупругими вращениями  $d_{IN}$ , а также между малыми температурными деформациями  $e_{\Theta}$  с известным определяющим соотношением и малыми температурными вращениями  $d_{\Theta}$ . Получены вытекающие из термодинамики соотношения для напряжений и энтропии и построено уравнение теплопроводности. Уравнения состояния для конечных термоупруго-неупругих деформаций записаны относительно промежуточной конфигурации, близкой к текущей. При этом константы, содержащиеся в тензоре четвертого ранга, который определяет свойства материала в промежуточной конфигурации и зависит только от упругой кинематики, полагались функциями температуры и скалярных структурных параметров, определяемых неупругой кинематикой.

---

Работа выполнена при финансовой поддержке Российского фонда фундаментальных исследований (код проекта 06-01-00050) и Совета по грантам Президента РФ для государственной поддержки ведущих научных школ (грант № НШ-8055.2006.1), а также в рамках Программы фундаментальных исследований Отделения энергетики, машиностроения, механики и процессов управления РАН и Интеграционной программы УрО РАН, СО РАН и ДВО РАН.

В данной работе построена модель поведения термоупругой среды при конечных деформациях, основанная на теоретических положениях, перечисленных выше, и проведено тестирование этой модели на простейшей задаче, для которой имеется большое количество экспериментальных данных.

Как отмечено в работе [6], конечные деформации в термоупругости — это уже классическая и хорошо развитая теория нелинейной механики сплошных сред. В основополагающих работах дается термодинамическое обоснование предлагаемых в них кинематик для описания термоупругого процесса (см., например, работы [6–8], а также библиографию к ним). В настоящей работе получены соотношения термоупругости в рамках общего подхода к построению определяющих уравнений упруго-неупругих сред при конечных деформациях [1–5], основанного на кинематике, построенной в предположении близости промежуточной и текущей конфигураций, и позволяющего описать упругопластические [1] и вязкоупругие [2] процессы. Упругое поведение материала описывается соотношением, позволяющим с помощью одного из обобщенных модулей упругости учитывать как слабую сжимаемость, так и несжимаемость материала, а также зависимость “объемного модуля” и “модуля сдвига” от изменения объема [9–12].

**1. Определяющее уравнение термоупругости и уравнение теплопроводности.** В работах [1–3] в рамках кинематики, определяемой наложением малых деформаций (градиентов места) на конечные, построены эквивалентные формы уравнений состояния для конечных упруго-неупругих деформаций относительно промежуточной конфигурации, близкой к текущей, в случае, когда константы упругого потенциала не зависят от неупругих деформаций. Используем подход, развиваемый в [1–3], для построения уравнения состояния термоупругого материала в промежуточной конфигурации. В работе [3] тензор истинных напряжений представляется в виде

$$T = 4J^{-1}F \cdot \left[ \int_0^t \left( F \overset{\circ}{\circ} \frac{\partial^2 W}{\partial C_E^2} \cdot F^T \right) \cdot D_E d\tau \right] \cdot F^T. \quad (1.1)$$

Здесь  $F$  — полный (в данном случае термоупругий) градиент места;  $J = I_3(F)$  — третий инвариант  $F$  (якобиан, определяющий относительное изменение объема);  $C_E$  — мера Коши — Грина упругих деформаций;  $D_E = \dot{e}_E$  — деформация скорости упругих перемещений, в данном случае совпадающая со скоростью упругих деформаций;  $W$  — упругий потенциал, константы которого в соответствии с работой [3] в случае термоупругого процесса зависят от абсолютной температуры  $\Theta$  как от параметра:  $\Theta = \Theta(t)$ . Операция  $A \overset{\circ}{\circ} B^{IV}$  означает скалярное умножение слева тензора второго ранга  $A$  на третий базисный вектор тензора четвертого ранга  $B^{IV}$ . Согласно [3–5] кинематические тензоры определяются выражениями

$$F = F_E \cdot F_\Theta = (g + \varepsilon h) \cdot F_* = [g + \varepsilon(h_E + h_\Theta)] \cdot F_*, \quad F_* = F_{E*} \cdot F_{\Theta*}. \quad (1.2)$$

Здесь и далее величины с индексом “\*” соответствуют промежуточной конфигурации (моменту времени  $t_*$ ), а без него — близкой текущей конфигурации (моменту времени  $t$ ), причем близость этих конфигураций характеризуется малой положительной величиной  $\varepsilon$ ;  $g$  — единичный тензор;  $h = h_E + h_\Theta$ ,  $h_E$ ,  $h_\Theta$  — градиенты векторов малых полных, упругих и температурных перемещений относительно промежуточной конфигурации (эти градиенты представляются в виде суммы симметричных градиентов  $e$ ,  $e_E$ ,  $e_\Theta$  (малые полные, упругие и температурные деформации) и кососимметричных градиентов  $d$ ,  $d_E$ ,  $d_\Theta$  (малые полные, упругие и температурные вращения), причем  $e = e_E + e_\Theta$ ,  $d = d_E + d_\Theta$ );  $C_E = F_E^T \cdot F_E$ ;  $F_E$ ,  $F_\Theta$  — упругий и температурный градиенты места, записанные в виде

$$F_E = (g + \varepsilon h_E) \cdot F_{E*}, \quad F_\Theta = (g + \varepsilon F_{E*}^{-1} \cdot h_\Theta \cdot F_{E*}) \cdot F_{\Theta*}.$$

Градиент  $F_\Theta$  есть чистая деформация без вращений, т. е. в полярном разложении  $F_\Theta = R_\Theta \cdot U_\Theta$ , ортогональный тензор  $R_\Theta = g$ . Как показано в работе [5], в предположении, что  $e_\Theta$  определяется законом линейного температурного расширения  $e_\Theta = \beta\theta g$ , где  $\beta$  — коэффициент линейного температурного расширения;  $\theta$  — малое изменение температуры, имеем  $d_\Theta = 0$ . Так как  $d = d_E + d_\Theta$ , то  $d_E = d$ . В результате получаем

$$F_E = [g + \varepsilon(h - \beta\theta)] \cdot F_{E*}, \quad F_\Theta = U_\Theta = (1 + \varepsilon\beta\theta)U_{\Theta*}. \quad (1.3)$$

Интеграл от 0 до  $t$  в соотношении (1.1) представим в виде двух интегралов: от 0 до  $t_*$  и от  $t_*$  до момента времени  $t$ , близкого к  $t_*$ , а температуру, являющуюся одним из аргументов упругого потенциала  $W$  и зависящую от текущего времени  $t$ , — в виде  $\Theta = \Theta_* + \varepsilon\theta$ . Тогда

$$\frac{\partial^2 W(\Theta)}{\partial C_E^2} = \frac{\partial^2 W(\Theta_* + \varepsilon\theta)}{\partial C_E^2} = \frac{\partial^2 W(\Theta_*)}{\partial C_E^2} + \varepsilon\theta \frac{\partial^3 W(\Theta)}{\partial \Theta \partial C_E^2} \Big|_{\Theta=\Theta_*}.$$

В результате, учитывая соотношения (1.2) и применяя процедуру, аналогичную используемой при выводе выражения (4.7) в работе [3], определяющее уравнение (1.1) относительно промежуточной конфигурации запишем в виде

$$T = [1 - \varepsilon I_1(e)]T_* + \varepsilon h \cdot T_* + \varepsilon T_* \cdot h^T + \varepsilon\theta(T_{,\Theta})_* + \varepsilon \tilde{L}_6^{IV} \cdot e_E. \quad (1.4)$$

Это приближенное уравнение сводится к эволюционному дифференциальному с объективной производной Трусделла

$$T^{\text{Tr}} = \dot{\theta} T_{,\Theta} + L_6^{IV} \cdot \dot{e}_E, \quad (1.5)$$

причем  $\dot{\theta} = \dot{\Theta}$ . В соотношении (1.4)  $T_*$ ,  $(T_{,\Theta})_*$  — истинные напряжения и их производные по температуре в промежуточной конфигурации;  $I_1$  — первый инвариант;  $\tilde{L}_6^{IV}$  — тензор четвертого ранга, определяющий отклик материала на малые упругие деформации относительно промежуточной конфигурации:

$$\tilde{L}_6^{IV} = 4J_*^{-1} F_* \cdot \left( F_* \overset{3}{\circ} \frac{\partial^2 W}{\partial C_E^2} \Big|_{\substack{C_E=C_{E*} \\ \Theta=\Theta_*}} \overset{2}{*} F_*^T \right) \cdot F_*^T, \quad (1.6)$$

причем операция  $B^{IV} \overset{2}{*} A$  означает скалярное умножение справа тензора второго ранга  $A$  на второй базисный вектор тензора четвертого ранга  $B^{IV}$ . В соотношении (1.5) тензор четвертого ранга  $L_6^{IV}$  определяет отклик материала на скорости упругих деформаций относительно текущей конфигурации и записывается в виде (1.6), где все кинематические величины и температура определены не в промежуточной конфигурации, а в текущей.

Легко показать, что тензор  $T_{,\Theta} \equiv \partial T / \partial \Theta$  в выражении (1.5) представляется в виде

$$T_{,\Theta} = [1 - \varepsilon I_1(e)](T_{,\Theta})_* + \varepsilon h \cdot (T_{,\Theta})_* + \varepsilon (T_{,\Theta})_* \cdot h^T + \varepsilon\theta(T_{,\Theta\Theta})_* + \varepsilon \tilde{L}_{6,\Theta}^{IV} \cdot e_E, \quad (1.7)$$

$$\tilde{L}_{6,\Theta}^{IV} = 4J_*^{-1} F_* \cdot \left( F_* \overset{3}{\circ} \frac{\partial^3 W}{\partial \Theta \partial C_E^2} \Big|_{\substack{C_E=C_{E*} \\ \Theta=\Theta_*}} \overset{2}{*} F_*^T \right) \cdot F_*^T.$$

Выражение (1.7) аналогично (1.4). Структура соотношений (1.4), (1.6) и (1.17) показывает, каким образом можно построить производные от напряжения по температуре более высокого порядка.

Для описания конечных деформаций среды, которая в начальном состоянии является изотропным слабосжимаемым упругим материалом, будем использовать упругий потенциал

$$W = \hat{W} + \sigma(J_E^2 - 1) - \alpha(\sigma - \chi_1)^2/2, \quad J_E = I_{3E}(F_E),$$

предложенный в работах [9–12]. Здесь

$$\begin{aligned} \hat{W} &= k_1(\hat{I}_1 - 3) + k_2(\hat{I}_2 - 3), & \sigma &= \chi_1 + \chi_2(J_E^2 - 1), \\ \chi_1 &= p_1(\hat{I}_1 - 3) + p_2(\hat{I}_2 - 3), & \chi_2 &= \chi_{20} + q_1(\hat{I}_1 - 3) + q_2(\hat{I}_2 - 3), \\ \hat{I}_1 &= I_{1E} - (I_{3E} - 1), & \hat{I}_2 &= I_{2E} - 2(I_{3E} - 1), & \alpha &= 1/\chi_2, \end{aligned}$$

$I_{1E}, I_{2E}, I_{3E} = J_E^2$  — инварианты тензора  $C_E = F_E^T \cdot F_E$ ;  $k_1, k_2, p_1, p_2, q_1, q_2, \chi_{20}$  — параметры материала, для которых, как показано в работах [9–12], справедливы соотношения  $2(k_1 + k_2) = G$ ,  $p_i = p_{i0}G$ ,  $q_i = q_{i0}G$  при  $i = 1, 2$ ;  $G$  — модуль сдвига. Тогда, учитывая соотношение (1.6), последнее слагаемое в (1.4) можно представить в виде

$$\begin{aligned} \tilde{L}_6^{IV} \cdot e_E &= 4J_*^{-1}\{(c_1 - \sigma_*)I_{3E*}[Y \cdot e_E \cdot Y - Y(Y \cdot e_E)] + \\ &+ I_{3E*}[Y(\Phi_* \cdot e_E) + (\Phi_* - 2I_{3E*}Y)(Y \cdot e_E)]G[p_{10} + q_{10}(I_{3E*} - 1)] + \\ &+ [\Phi_*(\Phi_* \cdot e_E) - \Phi_* \cdot e_E \cdot \Phi_* + 2I_{3E*}(Y \cdot e_E \cdot Y - (Y \cdot e_E)Y)]c_2 + \\ &+ I_{3E*}[I_{1E*}Y(\Phi_* \cdot e_E) - Y(X \cdot e_E)] + \\ &+ (I_{1E*}\Phi_* - X - 4I_{3E*}Y)(Y \cdot e_E)]G[p_{20} + q_{20}(I_{3E*} - 1)] + \\ &+ I_{3E*}^2[\chi_{20} + G(q_{10}(\hat{I}_{1E*} - 3) + q_{20}(\hat{I}_{2E*} - 3))]Y(Y \cdot e_E)\}, \\ c_i &= k_i + G[p_{i0} + (1/2)q_{i0}(I_{3E*} - 1)](I_{3E*} - 1) \quad (i = 1, 2), \end{aligned} \tag{1.8}$$

$$\sigma_* = \chi_{20}(I_{3E*} - 1) + G\{[p_{10} + q_{10}(I_{3E*} - 1)](\hat{I}_{1E*} - 3) + [p_{20} + q_{20}(I_{3E*} - 1)](\hat{I}_{2E*} - 3)\},$$

где  $Y = F_* \cdot C_{E*}^{-1} \cdot F_*^T$ ;  $X = F_* \cdot C_{E*} \cdot F_*^T$ ;  $\Phi_* = F_* \cdot F_*^T$  — тензор меры деформаций Фингера, инварианты которого совпадают с соответствующими инвариантами тензора  $C_*$ . Представляя в соотношении (1.8) малые упругие деформации в виде разности малых полных и температурных деформаций  $e_E = e - e_\Theta$ , завершаем построение определяющего уравнения (1.4), описывающего термоупругое поведение материала при конечных упругих (слабосжимаемый материал) и температурных деформациях.

Будем считать, что от температуры зависят модуль сдвига  $G$  (а значит, и величины  $p_1, p_2, q_1, q_2$ ) через параметры материала  $k_1$  и  $k_2$  и величина  $\chi_{20}$ . Представим эту зависимость в общем виде:

$$\begin{aligned} \gamma_i &= \gamma_{i0} + \int_{\Theta_0}^{\Theta} \gamma_{i1}(\Theta_1) d\Theta_1 = \gamma_{i*} + \varepsilon \gamma_{i1*} \theta, & \theta &= \Theta - \Theta_*, \\ \gamma_{i*} &= \gamma_{i0} + \int_{\Theta_0}^{\Theta_*} \gamma_{i1}(\Theta_1) d\Theta_1, & \gamma_{i1*} &= \gamma_{i1}(\Theta_*) \end{aligned} \tag{1.9}$$

( $\Theta_0$  — абсолютная температура в начальный для всего процесса момент времени). Отсюда следует, что

$$\begin{aligned} \gamma_{i,\Theta} &= \gamma_{i1}(\Theta) = \gamma_{i1}(\Theta_* + \varepsilon\theta) = \gamma_{i1*} + \varepsilon \gamma_{i2*} \theta, & \gamma_{i2*} &= \gamma_{i1,\Theta} \Big|_{\Theta=\Theta_*}, \\ \gamma_{i,\Theta\Theta} &= \gamma_{i1,\Theta} = \gamma_{i2}(\Theta_* + \varepsilon\theta) = \gamma_{i2*} + \varepsilon \gamma_{i3*} \theta, & \gamma_{i3*} &= \gamma_{i2,\Theta} \Big|_{\Theta=\Theta_*} \end{aligned} \tag{1.10}$$

и т. д. Пусть  $\gamma_1 = k_1, \gamma_2 = k_2, \gamma_3 = \chi_{20}, \gamma_4 = G = 2(k_1 + k_2) = 2(\gamma_1 + \gamma_2)$ . Тогда в соотношении (1.6) константы  $k_1, k_2, \chi_{20}, G$ , входящие в выражения (1.8), в соответствии с (1.9) следует заменить величинами  $k_{1*}, k_{2*}, \chi_{20*}, G_*$ , а в соотношении (1.7) в соответствии с (1.10) — величинами  $k_{11*}, k_{21*}, \chi_{201*}, G_{1*}$  и т. д. Это позволяет вычислять

тензоры  $T$  (1.4),  $T_{,\Theta}$  (1.7) и производные от напряжения по температуре более высокого порядка, используя единый алгоритм.

Аналогично тому как были построены рекуррентные соотношения (1.4), (1.7), можно построить рекуррентное соотношение для функционала  $W_1$ , полученного в работах [3, 4]:

$$\begin{aligned} W_1 &= \int_0^t JT(\Theta) \cdot D_E d\tau = \int_0^{t_*} JT(\Theta_* + \varepsilon\theta) \cdot D_E d\tau + \int_{t_*}^t JT(\Theta) \cdot D_E d\tau = \\ &= \int_0^{t_*} J[T(\Theta_*) + \varepsilon T_{,\Theta}(\Theta_*)\theta] \cdot D_E d\tau + \varepsilon J_* T_* \cdot e_E. \end{aligned}$$

Отсюда следует соотношение

$$W_1 = W_{1*} + \varepsilon\theta(W_{1,\Theta})_* + \varepsilon J_* T_* \cdot e - \varepsilon\beta_*\theta J_* I_1(T_*), \quad (1.11)$$

а также легко получаемое и обобщаемое на производные по температуре более высокого порядка соотношение

$$W_{1,\Theta} = (W_{1,\Theta})_* + \varepsilon\theta(W_{1,\Theta\Theta})_* + \varepsilon J_*(T_{,\Theta})_* \cdot e - \varepsilon\beta_*\theta J_* I_1((T_{,\Theta})_*). \quad (1.12)$$

При выводе (1.11), (1.12) учтено, что  $e_E = e - e_\Theta = e - \beta\theta g$ .

В случае термоупругости уравнение теплопроводности, полученное в [4] (соотношение (2.12)), имеет вид

$$\begin{aligned} A\dot{\Theta} + B\Theta &= \rho\dot{\Omega} + \tilde{\nabla} \cdot (\lambda\tilde{\nabla}\Theta), \\ A &= \Theta(\beta_{,\Theta}I_1(T) + \beta I_1(T_{,\Theta}) - J^{-1}W_{1,\Theta\Theta}) + J^{-1}\rho_0 c_T, \\ B &= \beta(I_1(T)I_1(D) + I_1(\dot{T})) - T_{,\Theta} \cdot D. \end{aligned} \quad (1.13)$$

Здесь  $\rho_0$ ,  $\rho$  — плотность массы в недеформированной и текущей конфигурациях;  $c_T$  — теплоемкость при нулевом напряжении;  $\dot{\Omega}$  — скорость производства тепла внутренними источниками в единице массы;  $\lambda$  — теплопроводность;  $\tilde{\nabla}$  — оператор Гамильтона в текущей конфигурации. При выводе выражений для  $A$  и  $B$  из соотношения (2.12) в [4] учтено, что

$$\frac{d}{dt}(W_{1,\Theta}) = \dot{\theta}W_{1,\Theta\Theta} + JT_{,\Theta} \cdot D - \beta\dot{\theta}JI_1(T_{,\Theta}). \quad (1.14)$$

Последняя зависимость следует из уравнения (1.12), записанного в виде

$$\Delta W_{1,\Theta} = W_{1,\Theta} - (W_{1,\Theta})_* = (W_{1,\Theta\Theta})_*\Delta\Theta + J_*(T_{,\Theta})_* \cdot \Delta e - \beta_* J_* I_1((T_{,\Theta})_*)\Delta\Theta$$

( $\Delta W_{1,\Theta}$  — приращение  $W_{1,\Theta}$ ;  $\Delta\Theta = \varepsilon\theta$  — приращение температуры  $\Theta$ ;  $\Delta e = \varepsilon e$  — приращение деформации), в результате деления его левой и правой частей на приращение времени  $\Delta t$  и перехода к пределу при  $\Delta t \rightarrow 0$  в предположении, что все пределы существуют.

Граничные условия для уравнения теплопроводности (1.13) запишем в виде

$$\Theta|_{S_\Theta} = \Theta_S, \quad \mathbf{N} \cdot \mathbf{q}|_{S_q} = q_n, \quad S = S_\Theta \cup S_q,$$

где  $\mathbf{N}$  — внешняя единичная нормаль к поверхности в текущей конфигурации;  $S$  — полная поверхность тела в текущей конфигурации; а части поверхности  $S_\Theta$  и  $S_q$  могут быть пустыми множествами. Полагая, что тепловой поток  $\mathbf{q}$  подчиняется закону Фурье  $\mathbf{q} = -\lambda\tilde{\nabla}\Theta$ , находим граничные условия первого и второго рода

$$\Theta|_{S_\Theta} = \Theta_S, \quad -\mathbf{N} \cdot \lambda\tilde{\nabla}\Theta|_{S_q} = q_n. \quad (1.15)$$

Полагая  $q_n = \alpha_s(\Theta - \Theta_c)$  ( $\alpha_s$  — коэффициент теплопередачи;  $\Theta_c$  — абсолютная температура окружающей среды), получаем граничные условия третьего рода. Начальные условия для уравнения теплопроводности следующие:  $\Theta(\mathbf{x}, t_0) = \Theta_0(\mathbf{x})$ .

**2. Вариационная постановка связанной задачи термоупругости.** Соотношения, описывающие квазистатические термоупругие процессы в теле, содержат уравнение равновесия, кинематическое и определяющее уравнения, граничные условия (в общем случае смешанные) для перемещений на поверхности  $S_u$  и напряжений на поверхности  $S_p$ , а также уравнение теплопроводности (1.13) с граничными (1.15) и начальными условиями. Применяя стандартную процедуру Галеркина к уравнениям равновесия, теплопроводности и к граничным условиям для напряжений и температуры в форме (1.15), а также учитывая связи, наложенные на перемещения на поверхности  $S_u$  и температуру на поверхности  $S_\Theta$ , при условии независимости вариаций перемещений и температуры получаем известную слабую (вариационную) связанную постановку термоупругой задачи в обобщенной форме Лагранжа для начальной конфигурации и любого момента времени  $t$ :

$$\begin{aligned} \frac{1}{2} \int_{V_0} P_{II} \cdot \delta C \, dV_0 - \int_{V_0} \rho_0 \mathbf{f} \cdot \delta \mathbf{u} \, dV_0 - \int_{S_0} J_s \mathbf{p} \cdot \delta \mathbf{u} \, dS_0 = 0, \\ \int_{V_0} J[\lambda \nabla \Theta \cdot C^{-1} \cdot \delta(\nabla \Theta) + (A\dot{\Theta} + B\Theta)\delta\Theta] \, dV_0 - \int_{V_0} \rho_0 \dot{\Omega} \delta\Theta \, dV_0 + \int_{S_0} J_s q_n \delta\Theta \, dS_0 = 0. \end{aligned} \quad (2.1)$$

Здесь  $V_0, S_0$  — объем и полная поверхность тела в начальной конфигурации;  $P_{II}$  — симметричный тензор напряжений Пиолы — Кирхгофа;  $C$  — мера полных деформаций Коши — Грина;  $\mathbf{f}, \mathbf{p}$  — массовые и поверхностные силы;  $\mathbf{u}$  — вектор полных перемещений;  $J_s = J\sqrt{\mathbf{n} \cdot C^{-1} \cdot \mathbf{n}}$  — якобиан, определяющий относительное изменение текущей и начальной поверхностей;  $\mathbf{n}$  — внешняя единичная нормаль к поверхности в начальной конфигурации;  $\nabla$  — оператор Гамильтона в начальной конфигурации. Учитывая, что  $P_{II} = JF^{-1} \cdot T \cdot F^{-T}$ , из соотношения (1.4) получаем

$$P_{II} = (P_{II})_* + \varepsilon\theta(P_{II,\Theta})_* + \varepsilon J_* F_*^{-1} \cdot (\tilde{L}_6^{IV} \cdot e_E) \cdot F_*^{-T}. \quad (2.2)$$

**3. Тестирование модели.** Тестирование построенных в работе определяющего уравнения и уравнения теплопроводности, а также соотношений для свободной энергии и энтропии, полученных в работе [4], осуществлено на простой задаче о растяжении стержня (одноосное напряженное состояние), для которой имеется большое количество экспериментальных данных. Рассматриваются только такие процессы, в которых поля напряжений и температуры однородны. Несмотря на то что поля однородные, для решения задачи используются вариационные уравнения (2.1), что является дополнительным их тестированием.

Процесс растяжения вдоль оси  $z$  прямолинейного стержня, материал которого в начальном состоянии изотропный, разобьем на ряд достаточно малых шагов. Тогда в декартовой системе координат положение точки на  $n$ -м шаге (в промежуточной конфигурации) и на  $(n + 1)$ -м шаге (в текущей конфигурации, близкой к промежуточной) определяется радиус-векторами

$$\mathbf{R}_* = \alpha_{1*}(xi + yj) + \alpha_{2*}zk, \quad \mathbf{R} = \alpha_1(xi + yj) + \alpha_2zk.$$

Здесь орт  $\mathbf{k}$  направлен вдоль оси стержня, а два других орта лежат в плоскости его поперечного сечения;  $\alpha_1 = \alpha_{1*} + \varepsilon\xi$ ,  $\alpha_2 = \alpha_{2*} + \varepsilon\eta$  и  $\alpha_{1*}, \alpha_{2*}$  — относительные удлинения стержня в поперечном и осевом направлениях в текущей и промежуточной конфигурациях соответственно;  $\xi, \eta$  — их приращения. При этом  $\alpha_{2*}, \eta$  — заданные величины, а  $\alpha_{1*}$  —

величина, известная из решения задачи на предыдущем шаге. Как и выше, близость промежуточной и текущей конфигураций определяется малым положительным параметром  $\varepsilon$ . Из данных соотношений находим вектор перемещений, переводящий промежуточную конфигурацию в текущую:

$$\mathbf{u} = \mathbf{R} - \mathbf{R}_* = \xi(\mathbf{i}\mathbf{i} + \mathbf{j}\mathbf{j}) + \eta\mathbf{k}\mathbf{k}.$$

С использованием стандартной процедуры построим оператор Гамильтона относительно промежуточной конфигурации:

$$\overset{*}{\nabla} = \frac{1}{\alpha_{1*}} \left( \mathbf{i} \frac{\partial}{\partial x} + \mathbf{j} \frac{\partial}{\partial y} \right) + \frac{1}{\alpha_{2*}} \mathbf{k} \frac{\partial}{\partial z}$$

и определим тензор полных малых деформаций, возникающий при переходе из промежуточной конфигурации в текущую:

$$\mathbf{e} = \frac{\xi}{\alpha_{1*}} (\mathbf{i}\mathbf{i} + \mathbf{j}\mathbf{j}) + \frac{\eta}{\alpha_{2*}} \mathbf{k}\mathbf{k}.$$

Градиент места представляется в виде

$$\mathbf{F} = (\nabla \mathbf{R})^T = \mathbf{F}_* + \varepsilon[\xi(\mathbf{i}\mathbf{i} + \mathbf{j}\mathbf{j}) + \eta\mathbf{k}\mathbf{k}], \quad \mathbf{F}_* = \alpha_{1*}(\mathbf{i}\mathbf{i} + \mathbf{j}\mathbf{j}) + \alpha_{2*}\mathbf{k}\mathbf{k}, \quad (3.1)$$

а мера деформаций Коши — Грина  $C = \mathbf{F}^T \cdot \mathbf{F}$  — в виде

$$C = C_* + 2\varepsilon[\alpha_{1*}\xi(\mathbf{i}\mathbf{i} + \mathbf{j}\mathbf{j}) + \alpha_{2*}\eta\mathbf{k}\mathbf{k}], \quad C_* = \alpha_{1*}^2(\mathbf{i}\mathbf{i} + \mathbf{j}\mathbf{j}) + \alpha_{2*}^2\mathbf{k}\mathbf{k}.$$

Здесь удержаны только линейные слагаемые относительно  $\varepsilon$ . Из последнего соотношения находим вариацию меры деформаций Коши — Грина

$$\delta C = 2\alpha_{1*} \delta\xi (\mathbf{i}\mathbf{i} + \mathbf{j}\mathbf{j}), \quad (3.2)$$

так как величины с индексом “\*” и  $\eta$  заданы (их вариации равны нулю).

В силу нулевых внешних усилий на боковых поверхностях стержня и однородности поля напряжений в тензоре истинных напряжений отличны от нуля только осевые составляющие  $T = T^{33}\mathbf{k}\mathbf{k}$ . С учетом соотношений (3.1) отсюда следует, что второй тензор Пиолы — Кирхгофа имеет такое же представление  $P_{\Pi} = P_{\Pi}^{33}\mathbf{k}\mathbf{k}$  как в текущей, так и в промежуточной конфигурациях. В результате, принимая во внимание соотношение (3.2), первое вариационное уравнение в (2.1) можно свести к уравнению  $(P_{\Pi}^{11} + P_{\Pi}^{22})\delta\xi = 0$ , которое в силу произвольности  $\delta\xi$  с учетом соотношения (2.2) и зависимости  $e_E = e - \beta\theta g$  записывается в виде

$$\begin{aligned} a_{11}\xi/\alpha_{1*} + a_{12}\theta &= b_1\eta/\alpha_{2*}, & a_{11} &= Q^{11}(\mathbf{i}\mathbf{i} + \mathbf{j}\mathbf{j}) + Q^{22}(\mathbf{i}\mathbf{i} + \mathbf{j}\mathbf{j}), \\ a_{12} &= (P_{\Pi,\Theta}^{11})_* + (P_{\Pi,\Theta}^{22})_* - \beta_*(Q^{11}(g) + Q^{22}(g)), & (3.3) \\ b_1 &= -[Q^{11}(\mathbf{k}\mathbf{k}) + Q^{22}(\mathbf{k}\mathbf{k})]. \end{aligned}$$

Здесь  $Q^{kl}(M)$  — составляющие тензора второго ранга  $Q$ , записанного в декартовом базисе и зависящего от тензора второго ранга  $M$ :  $Q(M) = J_* F_*^{-1} \cdot K(M) \cdot F_*^{-T}$ . Тензор второго ранга  $K(M) = \tilde{L}_6^{IV} \cdot M$  легко вычислить, используя соотношение (1.8), в котором тензор  $e_E$  заменяется на соответствующий тензор  $M$ , равный  $\mathbf{i}\mathbf{i} + \mathbf{j}\mathbf{j}$ ,  $\mathbf{k}\mathbf{k}$  или единичному тензору  $g$ . В случае изотермического процесса второе уравнение в (2.1) исчезает, так как температура (однородная) задана (поэтому  $\delta\Theta = 0$ ), и в уравнении (3.3) остается только одна неизвестная  $\xi$ . Если процесс адиабатический и температурное поле однородное, то во втором уравнении в (2.1)  $q_n = 0$ ,  $\nabla\Theta = 0$  и это уравнение приводится к виду  $(A\dot{\Theta} + B\Theta - \rho_0\dot{\Omega})\delta\Theta = 0$ . Следовательно, в силу произвольности  $\delta\Theta$  выражение в скобках должно быть равно нулю. Умножая это выражение на малую величину  $\Delta t$  — время

перехода из промежуточной конфигурации в текущую и учитывая выражения (1.13) для коэффициентов  $A$  и  $B$ , связь между малыми полными, упругими и температурными деформациями, а также соотношения  $\dot{\Theta}\Delta t = \varepsilon\theta$ ,  $D\Delta t = \varepsilon e$ ,  $T\Delta t = \varepsilon\Gamma$  ( $\varepsilon\Gamma$  — правая часть выражения (1.4), не содержащая  $T_*$ ) и  $\dot{\Omega}\Delta t = \varepsilon\omega$ , получаем

$$\begin{aligned} a_{21}\xi/\alpha_{1*} + a_{22}\theta &= b_2\eta/\alpha_{2*} + \rho_0\omega, \quad a_{21} = \Theta_*[\beta_*I_1(K(\mathbf{ii} + \mathbf{jj})) - (T_{,\Theta})_* \cdot (\mathbf{ii} + \mathbf{jj})], \\ a_{22} &= \Theta_*[(\beta_{,\Theta})_*I_1(T_*) + 2\beta_*I_1((T_{,\Theta})_*) - \beta_*^2I_1(K(g)) - J_*^{-1}(W_{1,\Theta\Theta})_*] + J_*^{-1}\rho_0(c_T)_*, \quad (3.4) \\ b_2 &= -\Theta_*\{\beta_*[2T_*^{33} + I_1(K(\mathbf{kk}))] - (T_{,\Theta})_* \cdot \mathbf{kk}\}. \end{aligned}$$

Решив на  $(n + 1)$ -м шаге уравнение (3.3) (в случае изотермического процесса) или систему (3.3), (3.4) (в случае адиабатического процесса) и зная в результате приращения удлинения  $\xi$  и температуры  $\theta$ , по соотношениям (1.3) и (3.1) определим упругий и полный градиенты места, по соотношениям (1.4) и (1.7) — тензор напряжений и производную от него по температуре, по соотношениям (1.11) и (1.12) — функционал  $W_1$  и производную от него по температуре, которые будут начальными на следующем шаге.

При численном расчете начальная температура  $\Theta_0$  полагалась равной 293 К. Константы материала при этой температуре, взятые из работ [10–12] для резины марки 2959, имели следующие значения:  $k_1 \stackrel{(1.9)}{=} k_{10} = 0,25$  МПа,  $k_2 \stackrel{(1.9)}{=} k_{20} = 0,25$  МПа,  $p_{10} = 1$ ,  $p_{20} = 0,425$ ,  $q_{10} = 374$ ,  $q_{20} = 300$ ,  $\chi_{20} \stackrel{(1.9)}{=} \chi_{200} = 770$  МПа. Здесь запись  $\stackrel{(1.9)}{=}$  означает “равно в соответствии с соотношением (1.9)”. В интервале  $[\Theta_0, \Theta_0 + 100$  К] принимается линейная зависимость  $k_1$ ,  $k_2$  и  $\chi_{20}$  от температуры. В обозначениях, принятых в (1.9), это означает, что  $k_{11}(\Theta)$ ,  $k_{21}(\Theta)$  и  $\chi_{201}(\Theta)$  — постоянные. Принимались следующие значения этих постоянных:  $k_{11} = k_{21} = 0,8 \cdot 10^{-3}$  МПа/К,  $\chi_{201} = -2$  МПа/К. Так как через константы  $k_1$  и  $k_2$  определяется начальный модуль сдвига  $G = 2(k_1 + k_2)$ , то и он оказывается линейно зависимым от температуры, что согласуется как с экспериментальными данными (см., например, [13]), так и с выводами, полученными на основе положений статистической физики (см., например, [14]):  $G = Nk\Theta$  ( $N$  — число цепей в эластомерной сетке на единицу объема;  $k$  — постоянная Больцмана). Последнее соотношение представляется в виде  $G = G_0 + (G_0/\Theta_0)(\Theta - \Theta_0)$ , где  $G_0 = Nk\Theta_0$ . Этому соотношению ставится в соответствие выражение  $G = 2(k_{10} + k_{20}) + 2(k_{11} + k_{21})(\Theta - \Theta_0)$ . Из равенства коэффициентов при  $\Theta - \Theta_0$  в нулевой и первой степени в этих соотношениях, полагая  $k_{11} = k_{21}$ , получаем приведенные выше значения  $k_{11}$  и  $k_{21}$  для заданных величин  $k_{10}$  и  $k_{20}$ .

В работе [15] для такой же резины приведены экспериментальные данные об изменении объемного модуля в зависимости от температуры. Показано, что при изменении температуры от  $\Theta_0$  до  $\Theta_0 + 110$  К объемный модуль уменьшается на 28 % и это изменение можно считать линейным в пределах доверительного интервала эксперимента. С учетом этих данных определено значение коэффициента  $\chi_{201}$ . В рассматриваемом интервале температур коэффициент линейного температурного расширения  $\beta$  полагался неизменным (авторы настоящей работы не располагают данными о его температурной зависимости) и равным  $13,5 \cdot 10^{-5}$  К<sup>-1</sup> [16]. Начальная плотность материала  $\rho_0 = 1,21 \cdot 10^3$  кг/м<sup>3</sup> [16]. Значение коэффициента удельной (на единицу массы) теплоемкости при нулевом напряжении  $c_T$  взято из справочника [17]. Предполагалась его линейная зависимость от температуры в рассматриваемом интервале ее изменения. В обозначениях, использованных в соотношении (1.9), принималось, что  $c_{T0} = 1,9 \cdot 10^{-3}$  МДж/(кг · К),  $c_{T1} = 0,01 \cdot 10^{-3}$  МДж/(кг · К<sup>2</sup>).

Стержень растягивался в 1,8 раза с постоянной скоростью удлинения, равной 0,1 с<sup>-1</sup>, в течение 1000 шагов. На рис. 1 показано изменение температуры в процессе адиабатического растяжения стержня. Результаты, приведенные на рис. 1, хорошо согласуются с данными работы [18], причем не только качественно, но и количественно. Количественное



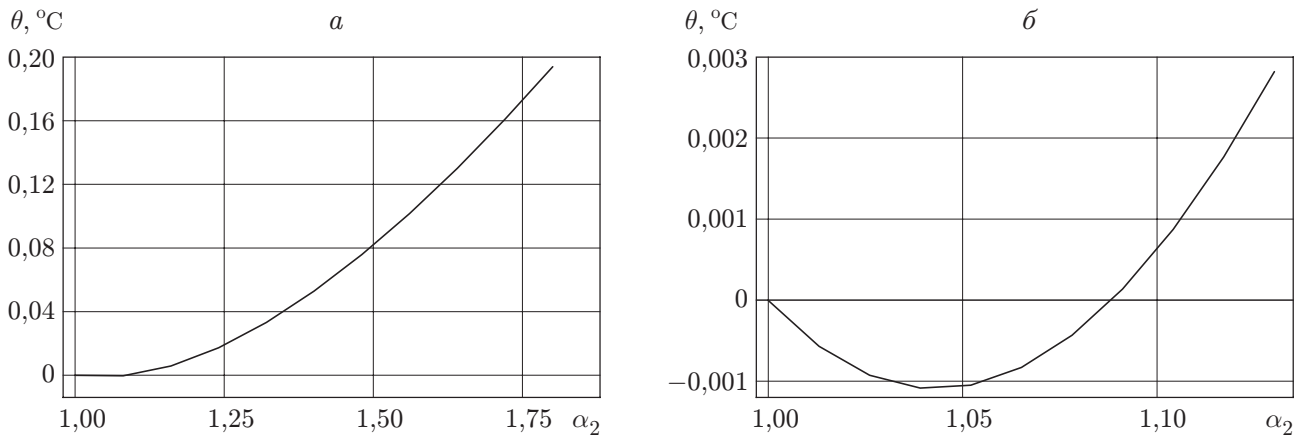


Рис. 1. Изменение температуры при адиабатическом растяжении стержня:  
*a* — общий вид; *б* — начальный участок кривой, показанной на рис. 1, *a*

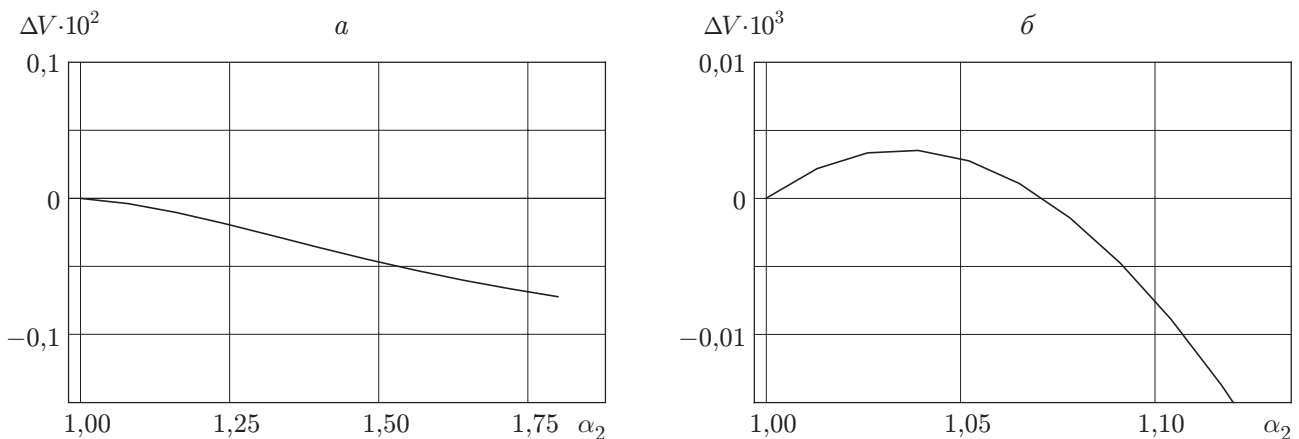


Рис. 2. Относительное изменение объема при адиабатическом растяжении стержня:  
*a* — общий вид; *б* — начальный участок кривой, показанной на рис. 2, *a*

соответствие, по-видимому, случайное, так как в настоящей работе и в [18] рассматривались разные материалы. Уменьшение температуры обычно связывается с расширением образца, а ее увеличение — с уменьшением объема (см., например, [18]).

На рис. 2 показано относительное изменение объема  $\Delta V$  в процессе адиабатического растяжения стержня. Видно, что законы изменения температуры и объема хорошо коррелируют.

Изменение единственной составляющей тензора истинного напряжения  $T^{33}$  в процессе адиабатического растяжения стержня приведено на рис. 3 (кривая 1). Вследствие малого изменения температуры кривая 1 почти совпадает с кривой, построенной на основе аналитического решения задачи об изотермическом растяжении стержня (см. [9]).

Задача о растяжении стержня представляет интерес, поскольку позволяет связать единственное отличное от нуля напряжение со свободной и внутренней энергиями, энтропией и температурой. Действительно, в случае термоупругого процесса собственная диссипация  $\varphi$  (см. [4]) представляется в виде

$$T \cdot D = \rho(\dot{\Psi} + \dot{\Theta}s) \quad \text{или} \quad T \cdot D = \rho(\dot{u} - \Theta\dot{s}). \quad (3.5)$$

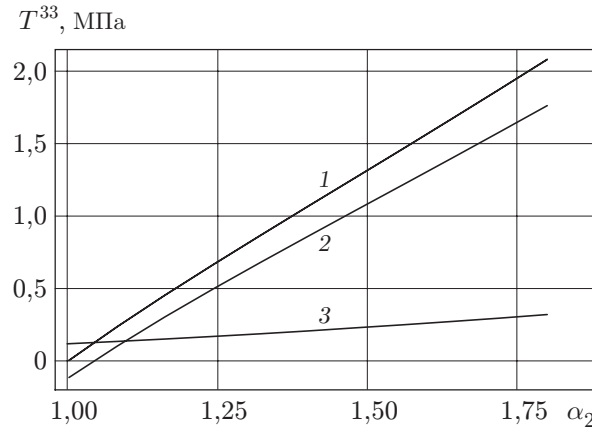


Рис. 3. Изменение составляющей тензора истинного напряжения при адиабатическом растяжении стержня:  
 1 —  $T^{33}$ ; 2 —  $T_s$ ; 3 —  $T_u$

Здесь  $\Psi$ ,  $u$ ,  $s$  — удельные (отнесенные к единице массы) свободная, внутренняя энергии и энтропия, связанные соотношением  $\Psi = u - \Theta s$ . Выражение для свободной энергии, полученное в работе [4], записывается в виде  $\Psi = W_1/\rho_0 + \Psi_2(\Theta)$ , где функционал  $W_1$  определен соотношением (2.7) в [4], а функция  $\Psi_2(\Theta)$  — соотношением (2.9). Учитывая, что  $\dot{W}_1 = JT \cdot D + \dot{\theta}W_{1,\Theta} - \beta\dot{\theta}JI_1(T)$  (соотношение получено из (1.11) аналогично тому, как было получено соотношение (1.14) из (1.12)), и принимая во внимание выражение для энтропии (соотношение (2.10) в работе [4]), имеем

$$\dot{\Psi} = \rho_0 J^{-1} T \cdot D - s \dot{\Theta}, \quad \dot{u} = \rho_0 J^{-1} T \cdot D + \Theta \dot{s}, \quad (3.6)$$

поэтому выражения (3.5) становятся тождественными равенствами. Более того, так как в термоупругом адиабатическом процессе энтропия не меняется и полагается равной нулю, из выражений (3.5) следует, что  $T \cdot D = \rho \dot{\Psi}$  в случае как изотермического, так и адиабатического процессов или  $T \cdot D = \rho \dot{u}$  в случае адиабатического процесса. Поэтому данные соотношения становятся тождествами (с учетом выражений (3.6) для таких процессов).

В случае изотермического процесса второе соотношение в (3.5) позволяет оценить вклад внутренней энергии и энтропии в производство осевого напряжения. Согласно (3.1) градиент скорости перемещений  $l = \dot{F} \cdot F^{-1}$ , симметричная часть которого определяет тензор деформации скорости  $D$ , в задаче о растяжении стержня представляется в виде  $l = (\dot{\xi}/\alpha_1)(\mathbf{i}\mathbf{i} + \mathbf{j}\mathbf{j}) + (\dot{\eta}/\alpha_2)\mathbf{k}\mathbf{k}$ . Полагая  $\dot{\xi} \Delta t = \varepsilon \xi$ ,  $\dot{\eta} \Delta t = \varepsilon \eta$ , из уравнения (3.3) в случае изотермического процесса находим  $\dot{\xi} = \Lambda \dot{\eta}$ , где  $\Lambda = (\alpha_{1*}/\alpha_{2*})(b_1/a_{11})$ . Так как в рассматриваемой задаче  $l = D = \dot{h} = \dot{e}$ , получаем

$$l = D = \dot{h} = \dot{e} = Z \dot{\eta}, \quad Z = (\Lambda/\alpha_1)(\mathbf{i}\mathbf{i} + \mathbf{j}\mathbf{j}) + (1/\alpha_2)\mathbf{k}\mathbf{k}, \quad (3.7)$$

при этом второе соотношение в (3.5) записывается в виде

$$T^{33} \dot{\eta} = \rho \alpha_2 (\dot{u} - \Theta \dot{s}). \quad (3.8)$$

Учитывая легко проверяемое для упругого материала в случае изотермического процесса равенство  $\rho \dot{s} = B$  ( $B$  — коэффициент в (1.13)), вытекающее из соотношения (2.10) в работе [4], и принимая во внимание (3.7), получаем

$$\rho \Theta \dot{s} = \Theta B_0 \dot{\eta}, \quad B_0 = \beta [2T \cdot Z + I_1(\tilde{L}_6^{IV} \cdot Z)] - T_{,\Theta} \cdot Z.$$

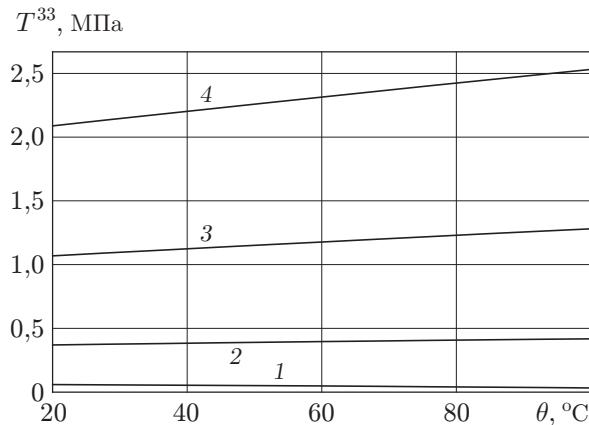


Рис. 4. Изменение истинного осевого напряжения при нагревании предварительно растянутого стержня:

1 —  $\alpha_2 = 1,02$ ; 2 —  $\alpha_2 = 1,13$ ; 3 —  $\alpha_2 = 1,4$ ; 4 —  $\alpha_2 = 1,8$

В результате выражение (3.8) имеет вид  $T^{33} = T_u + T_s$ , где  $T_u = \alpha_2(T \cdot Z + \Theta B_0)$ ,  $T_s = -\alpha_2 \Theta B_0$  — вклады внутренней энергии и энтропии в производство осевого напряжения. На рис. 3 величине  $T_u$  соответствует кривая 3, величине  $T_s$  — кривая 2. Видно, что в случае изотермического процесса основной вклад в производство осевого напряжения дает энтропия. Это известный факт, называемый энтропийной упругостью (см., например, [18, 19]). При этом незначительное изменение внутренней энергии позволяет считать ее функцией только температуры (см., например, [19]).

Еще одно тестирование модели проведено на задаче о нагревании предварительно растянутого стержня. В течение 1000 равных шагов стержень изотермически растягивался до определенной величины  $\alpha_2$ , а затем также в течение 1000 равных шагов нагревался на  $100^\circ\text{C}$  при постоянном удлинении (приращение температуры на каждом шаге  $\theta = 0,08^\circ\text{C}$ ). На каждом шаге решалось только уравнение (3.3) при заданном значении  $\theta$ . На рис. 4 показано изменение истинного осевого напряжения при нагревании предварительно растянутого стержня. С увеличением температуры напряжение в стержне уменьшается при малых степенях удлинения и возрастает при больших. Этот эффект известен как температурная инверсия (см. [13, 14, 18]) и объясняется действием двух факторов: увеличением при нагревании положительной температурной деформации, что приводит к уменьшению напряжения в растянутом стержне, и увеличением с ростом температуры модуля сдвига, что обуславливает увеличение напряжения растяжения. Взаимовлияние этих факторов легко показать в предположении малых деформаций простым инженерным расчетом.

Единственным отличным от нуля осевым напряжением в стержне является  $T = E(\Theta)(e - e_\Theta)$ . Здесь  $E$  — модуль Юнга;  $e$  — осевая составляющая тензора полных деформаций;  $e_\Theta = \beta \Delta \Theta$  — осевая составляющая тензора температурных деформаций;  $\Delta \Theta = \Theta - \Theta_0$ . Полагая  $E(\Theta) = E_0 + E_1 \Delta \Theta$  и учитывая, что для несжимаемого материала  $E = 3G$ , получаем  $T = T_0 + 3[G_1 e - \beta(G_0 + G_1 \Delta \Theta)] \Delta \Theta$ , где  $T_0 = 3G_0 e$ . Увеличение или уменьшение напряжения при положительном  $\Delta \Theta$  зависит от знака выражения в квадратных скобках. После подстановки в последнее соотношение принятых выше значений материальных констант знак выражения в квадратных скобках определяется величиной  $e - 4,2 \cdot 10^{-2}(1 + 3,2 \cdot 10^{-3} \Delta \Theta)$ . Следовательно, если  $e < 0,042$ , что соответствует  $\alpha_2 = \sqrt{1 + 2e} < 1,041$ , то напряжение уменьшается при  $\Delta \Theta > 0$ , и если  $e > 0,0554$ , что соответствует  $\alpha_2 > 1,054$ , то напряжение увеличивается при  $0^\circ\text{C} < \Delta \Theta < 100^\circ\text{C}$ . При

$0,0420 < e < 0,0554$  напряжение сначала увеличивается, а затем уменьшается в указанном интервале изменения температуры. Приведенные на рис. 4 результаты расчетов при достаточно малых деформациях (кривые 1, 2) хорошо согласуются с полученными оценками. Для кривых 1, 2 напряжения  $T_0$ , вычисленные по приведенному выше соотношению линейной упругости, равны 0,06 и 0,42 МПа соответственно, что также согласуется с данными на рис. 4.

**Заключение.** Таким образом, с использованием формализованного подхода к построению определяющих соотношений для сложных сред при конечных деформациях получено уравнение состояния термоупругости. Кинематика процесса определяется наложением малых температурных и малых упругих деформаций на конечные термоупругие. Получено общее представление определяющего соотношения в приращениях и его точный эволюционный аналог. Приведены конкретные уравнения состояния, полученные с использованием упругого закона для слабосжимаемого материала.

## ЛИТЕРАТУРА

1. Новокшанов Р. С., Роговой А. А. О построении эволюционных определяющих соотношений для конечных деформаций // Изв. РАН. Механика твердого тела. 2002. № 4. С. 77–95.
2. Новокшанов Р. С., Роговой А. А. Эволюционные определяющие соотношения для конечных вязкоупругих деформаций // Изв. РАН. Механика твердого тела. 2005. № 4. С. 122–140.
3. Роговой А. А. Определяющие соотношения для конечных упруго-неупругих деформаций // ПМТФ. 2005. Т. 46, № 5. С. 138–149.
4. Роговой А. А. Термодинамика упруго-неупругого процесса при конечных деформациях // ПМТФ. 2007. Т. 48, № 4. С. 144–153.
5. Роговой А. А. Кинематика упруго-неупругого процесса при конечных деформациях // ПМТФ. 2008. Т. 49, № 1. С. 165–172.
6. Vujošević L., Lubarda V. A. Finite-strain thermoelasticity based on multiplicative decomposition of deformation gradient // Theoret. Appl. Mech. 2002. V. 28/29. P. 379–399.
7. Lubarda V. A. Constitutive theories based on the multiplicative decomposition of deformation gradient: Thermoelasticity, elastoplasticity and biomechanics // Appl. Mech. Rev. 2004. V. 57, N 2. P. 95–108.
8. Meggyes A. Multiple decomposition in finite deformation theory // Acta Mech. 2001. V. 146. P. 169–182.
9. Мошев В. В. Структурные механизмы формирования механических свойств зернистых полимерных композитов / В. В. Мошев, А. Л. Свистков, О. К. Гаришин и др. Екатеринбург: Ин-т механики сплошных сред, 1997.
10. Кузнецова В. Г., Роговой А. А. Эффект учета слабой сжимаемости материала в упругих задачах с конечными деформациями // Изв. РАН. Механика твердого тела. 1999. № 4. С. 64–77.
11. Кузнецова В. Г., Роговой А. А. Эффект учета слабой сжимаемости эластомеров. Осесимметричная задача. Аналитическое решение // Изв. РАН. Механика твердого тела. 2000. № 6. С. 27–37.
12. Rogovoy A. Effect of elastomer slight compressibility // Eur. J. Mech. A. Solids. 2001. V. 20. P. 757–775.
13. Mohsin M. A., Berry J. P., Treloar L. R. G. An experimental study of the thermodynamics of rubber in extension and torsion // Brit. Polymer J. 1986. V. 18, N 3. P. 145–150.
14. Lyon R. E., Farris R. J. Thermomechanics of rubber at small strains // Polymer. 1987. V. 28. June. P. 1127–1132.

15. **Зотин В. Н., Ковров В. Н.** О влиянии температуры на сжимаемость резины ИРП-1226 // Реологическое поведение деформируемых сплошных сред: Сб. науч. тр. Свердловск: Изд-во УрО АН СССР, 1990. С. 77–78.
16. **Бабичев А. П.** Физические величины: Справ. / А. П. Бабичев, Н. А. Бабушкина, А. М. Братковский и др. М.: Энергоатомиздат, 1991.
17. **Иванченко А. И.** Теплофизические и реологические характеристики полимеров: Справ. / А. И. Иванченко, В. А. Пахаренко, В. П. Привалко и др. Киев: Наук. думка, 1977.
18. **Трелоар Л.** Физика упругости каучука. М.: Изд-во иностр. лит., 1953.
19. **Карнаухов В. Г.** Связанные задачи термовязкоупругости. Киев: Наук. думка, 1982.

*Поступила в редакцию 15/II 2007 г.,  
в окончательном варианте — 7/VI 2007 г.*

---